

DS N°2

Aucun document autorisé

Calculatrices autorisées

Le devoir comporte 2 exercices et 1 problème

(Tableau des transformées de Laplace donné en dernière page du problème)

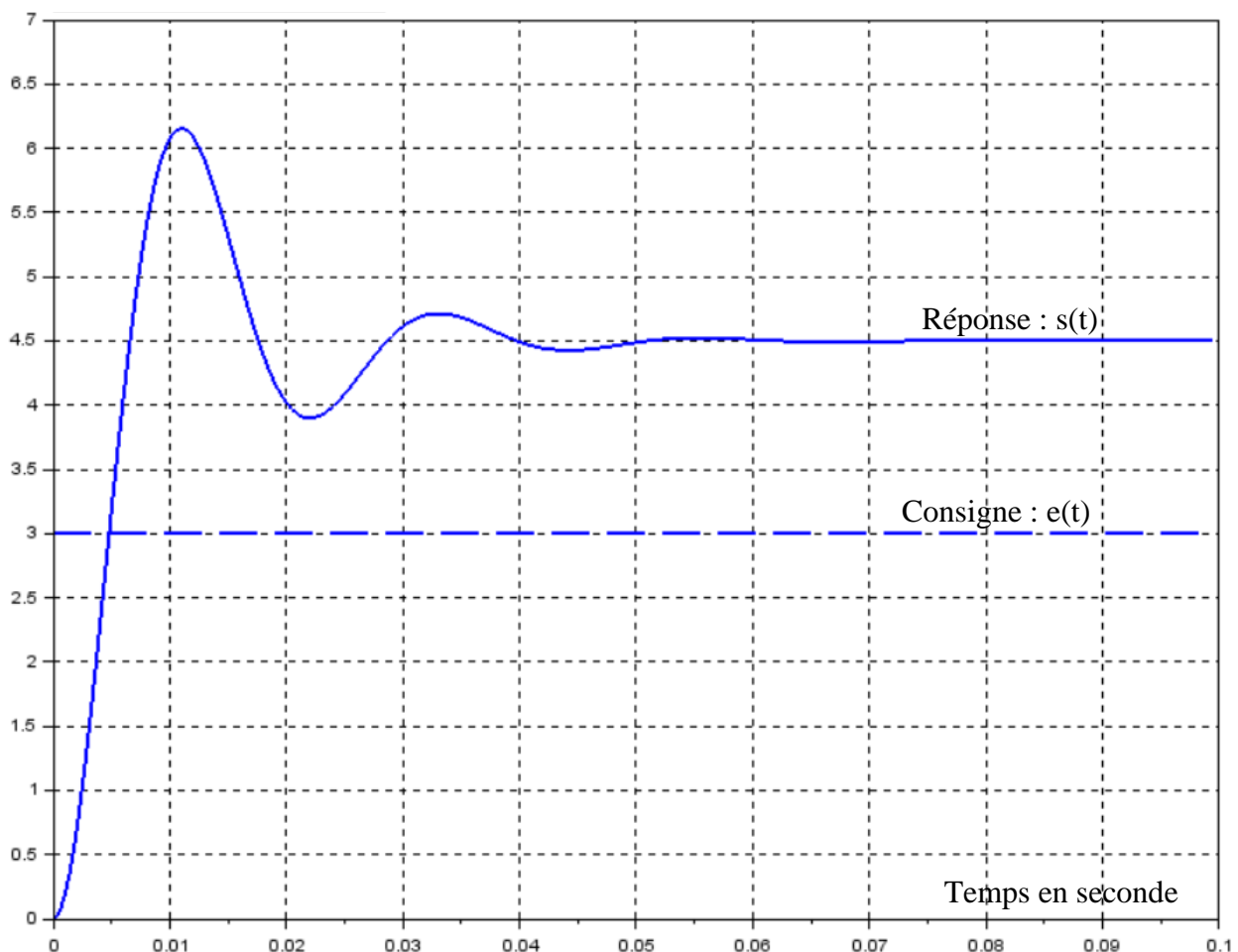
Durée 3 heures

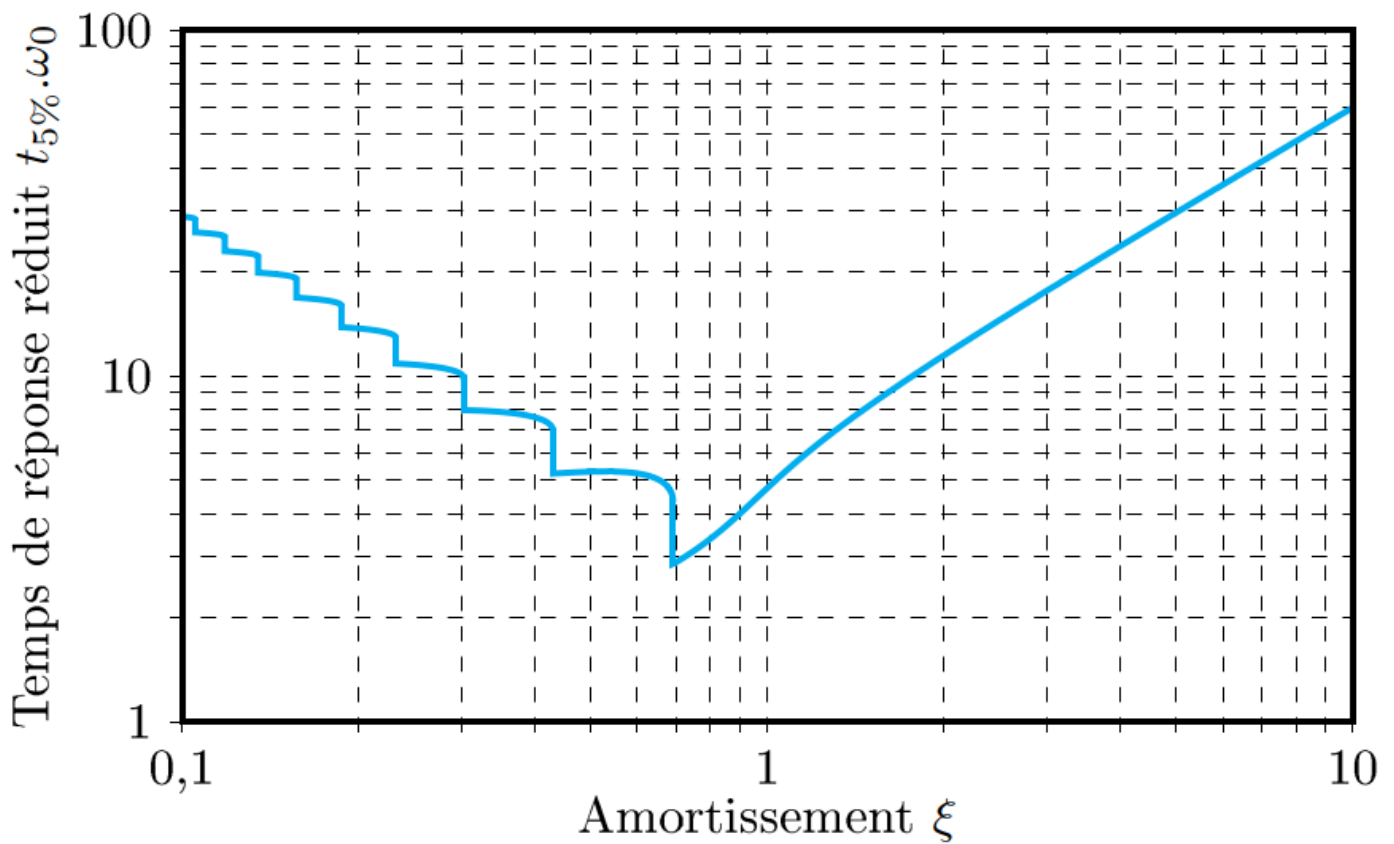
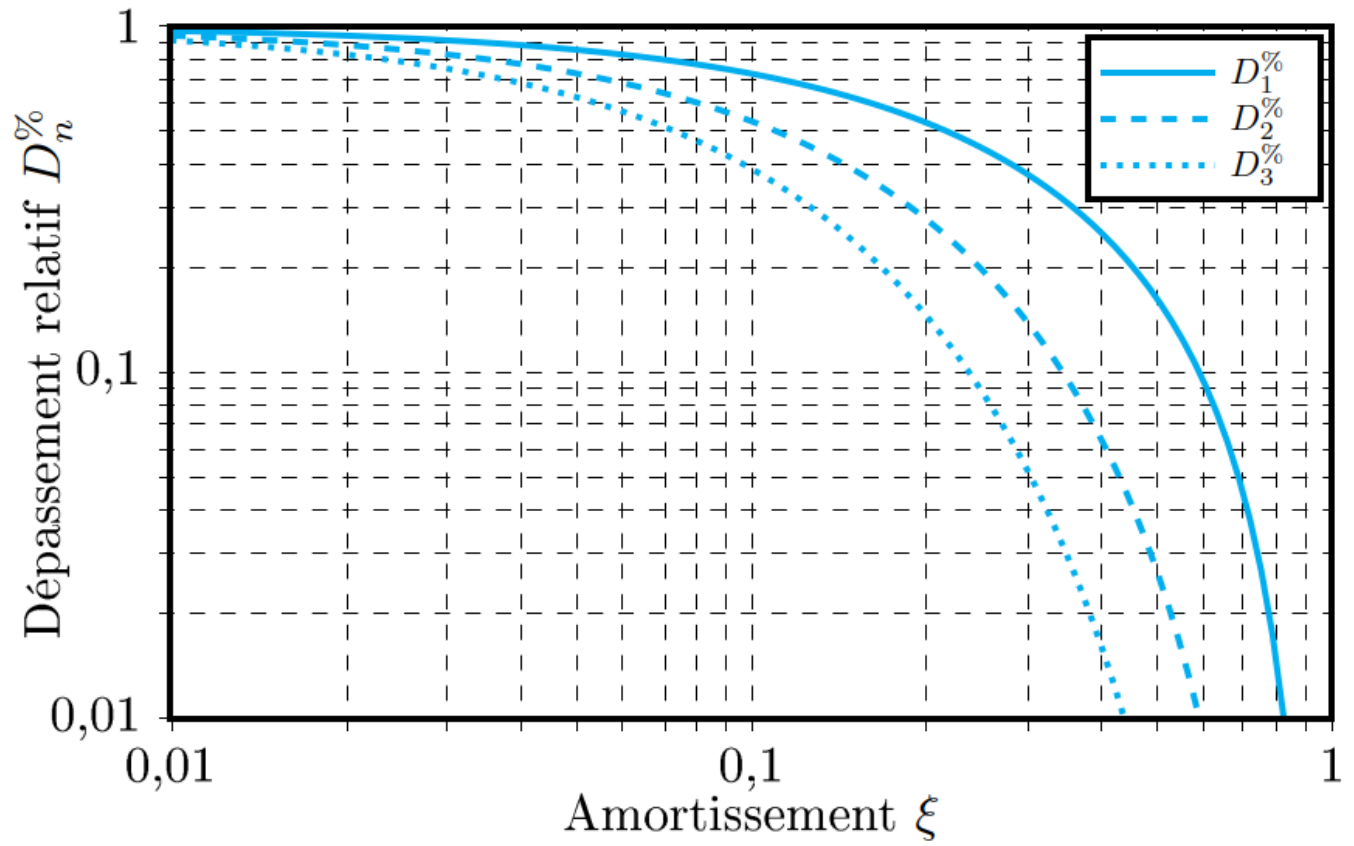
Exercice N°1 : performances et identification

Sur le graphique suivant, sont représentés la consigne et la réponse (grandeurs sans dimension) d'un système linéaire continu invariant asservi.

Travail demandé :

1. *Evaluer les performances du système (erreur statique, temps de réponse et 1^{er} dépassement en pourcentage de la valeur à convergence). Vous réaliserez les tracés nécessaires sur le document réponse.*
2. *Donner par identification, la fonction de transfert Laplacienne du système. Son expression numérique sera donnée sous forme canonique. Justifier le modèle de fonction de transfert avant de développer la démarche et les calculs utilisant entre autres, les deux abaques ci-après.*

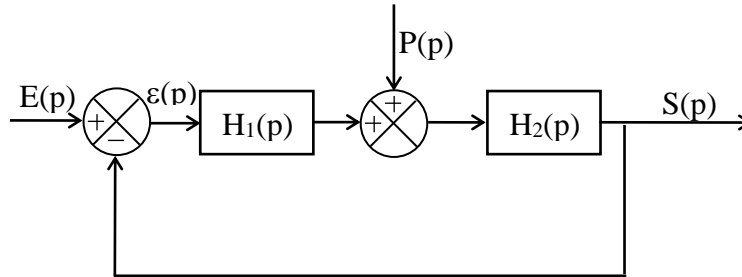




Exercice N°2 : placement d'un intégrateur

On considère un système asservi dont le schéma-blocs prend la forme ci-dessous. $H_1(p)$ et $H_2(p)$ sont deux fonctions de transfert de classe respectivement notées α_1 et α_2 , et de gain statique respectivement noté K_1 et K_2 . L'entrée en consigne du système est notée $E(p)$, la perturbation $P(p)$ et la sortie $S(p)$.

On rappelle la forme canonique d'une fonction de transfert : $H(p) = \frac{K(1+b_1p+\dots+b_m p^m)}{p^\alpha(1+a_1p+\dots+a_n p^n)}$



Le système présentant deux entrées, la consigne et la perturbation, la sortie du système s'écrit :

$$S(p) = H_s(p) E(p) + H_r(p) P(p)$$

Où $H_s(p)$ et $H_r(p)$ sont les fonctions de transfert respectivement du système suiveur (suivi de consigne) et du système régulateur.

$H_r(p)$ permet de savoir quelles conséquences la perturbation va avoir sur la grandeur de sortie lorsque la consigne est supposée nulle

- Q1.** Déterminer les expressions de $H_s(p)$ et $H_r(p)$ en fonction de $H_1(p)$ et $H_2(p)$. Vous pouvez procéder par superposition ($H_s(p) = \left. \frac{S(p)}{E(p)} \right|_{P(p)=0}$ et $H_r(p) = \left. \frac{S(p)}{P(p)} \right|_{E(p)=0}$) ou en traduisant le schéma complet.
- Q2.** Retrouver l'expression de l'écart $\varepsilon(p) = \frac{1}{1 + H_1 H_2} E(p) - \frac{H_2}{1 + H_1 H_2} P(p)$. En déduire celle de l'écart noté $\varepsilon_{\text{pert}}(p)$ uniquement dû à la perturbation.

On considère que le système est soumis à une perturbation en échelon $p(t) = p_0 u(t)$ avec $u(t)$ la fonction échelon unitaire et p_0 une constante.

- Q3.** Donner l'expression ou la valeur de l'écart en régime permanent dû à la perturbation dans les 4 cas suivants :

a) $\alpha_1 = \alpha_2 = 0$ b) $\alpha_1 = 0$ et $\alpha_2 > 0$ c) $\alpha_1 > 0$ et $\alpha_2 = 0$ d) $\alpha_1 > 0$ et $\alpha_2 > 0$

- Q4.** Recopier sur copie et compléter la phrase suivante : Si la fonction de transfert située la perturbation comporte au moins un intégrateur (fonction $\frac{1}{p}$), la perturbation en échelon n'a pas d'effet sur la précision : on dit que le système rejette la perturbation.

Problème : Assistance pour le maniement de charges dans l'industrie (extrait Centrale TSI 2017)

I. Mise en situation

I.1 Contexte

L'exosquelette est un appareil qui apporte à un l'être humain des capacités qu'il ne possède pas ou qu'il a perdues à cause d'un accident. Ce type d'appareil peut permettre à une personne de soulever des charges lourdes et diminuer considérablement les efforts à fournir sans la moindre fatigue (Figure 1).

Après avoir revêtu un exosquelette adapté à sa morphologie et à sa taille, l'utilisateur peut faire ses mouvements en bénéficiant d'une grande fluidité.



FIGURE 1 – Maniement de charges

I.2 Présentation du système

L'exosquelette (Figure 2) présente les constituants principaux de l'exosquelette étudié.

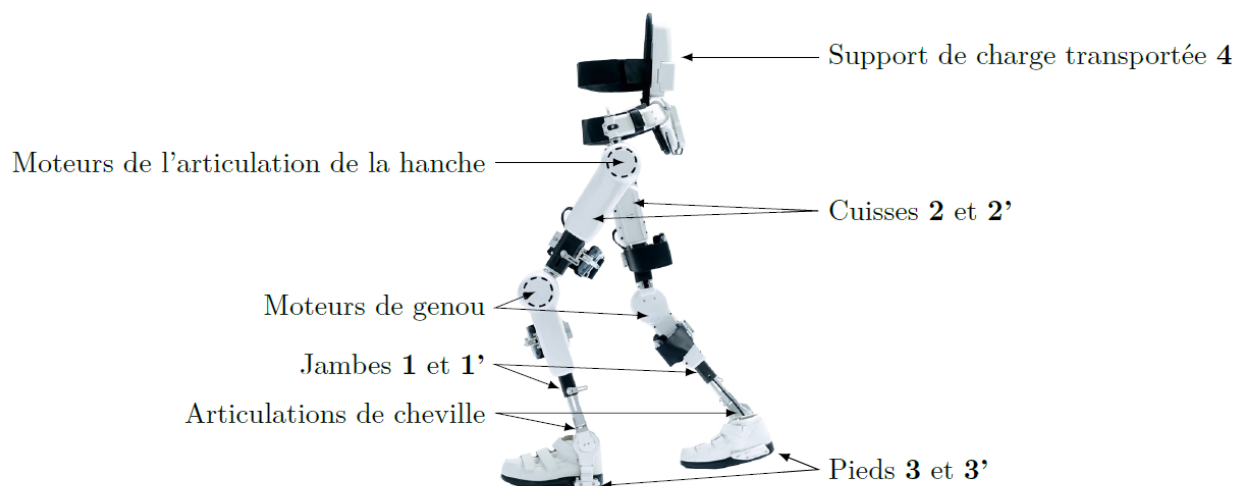


FIGURE 2 – Constituants de l'exosquelette

Les actionneurs équipant chaque axe (genoux et hanches) de l'exosquelette sont des moteurs à courant continu couplés à des réducteurs de vitesse de type « Harmonic Drive » à grand rapport de réduction. Chaque moteur est alimenté par une carte de positionnement incluant un onduleur triphasé, la source d'énergie étant un pack de batteries. La carte de positionnement exploite les signaux des capteurs à effet Hall intégrés dans le moteur, ainsi que ceux d'un codeur incrémental monté sur l'axe moteur. Elle comprend trois asservissements :

- un asservissement de courant qui correspond à un asservissement de couple avec correction intégrale ;
- un asservissement de vitesse avec un correcteur proportionnel et intégral ;
- un asservissement de position offrant des fonctions d'anticipation de vitesse.

I.3 Performances attendues

La demande de mouvement de l'utilisateur de l'exosquelette se traduit par une consigne de vitesse de type trapézoïdale pour le mouvement vertical. Cette demande se traduit finalement en consigne de position des axes moteur genou gauche et droit qui peuvent être approchées par des constantes et des rampes. On définit ainsi deux sous-critères pour la précision de l'asservissement (voir table 1).

Exigences	Critères d'appréciation	Niveau
Gérer le mouvement vertical	Précision de l'asservissement de position :	
	- erreur statique pour une consigne en échelon (ε_s)	0 rad
	- erreur statique pour une consigne en rampe (ε_t)	0 rad
	Robustesse de l'asservissement de position :	
erreur statique pour une perturbation en échelon (ε_p)	0 rad	
Rapidité de l'asservissement de position :		
temps de réponse à 5% ($t_{5\%}$)	< 500 ms	

TABLE 1 – Extrait du cahier des charges associé à l'exigence « Gérer le mouvement vertical »

Objectif : Valider les réglages de la commande asservie des moteurs genou droit et gauche permettant d'assurer un mouvement vertical ne déséquilibrant pas le porteur de l'exosquelette puis valider les performances attendues listées par le cahier des charges (Tableau 1).

II. Détermination des performances de l'asservissement de position d'un axe

II.1 Modélisation du système

Un premier modèle de l'asservissement de la position angulaire d'un axe est défini Figure 3.

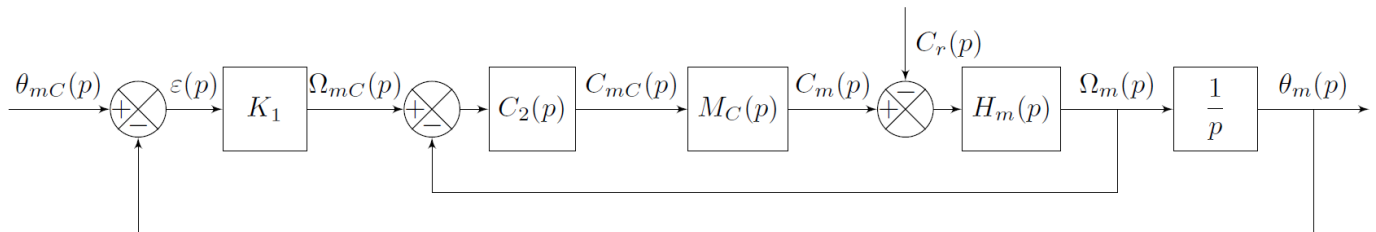


FIGURE 3 – Premier modèle

$\theta_{mC}(p)$	consigne de position de l'axe moteur (variable temporelle : $\theta_{mC}(t)$ en rad)
$\theta_m(p)$	position de l'axe moteur (variable temporelle : $\theta_m(t)$ en rad)
$C_{mC}(p)$	consigne de couple moteur (variable temporelle : $c_{mC}(t)$ en N·m)
$C_m(p)$	couple moteur (variable temporelle : $c_m(t)$ en N·m)
$C_r(p)$	couple résistant perturbateur (variable temporelle : $c_r(t)$ en N·m)
K_1	gain proportionnel du correcteur de l'asservissement de position (en s^{-1})
$\Omega_{mC}(p)$	consigne de vitesse de l'axe moteur (variable temporelle : $\omega_{mC}(t)$ en $\text{rad}\cdot\text{s}^{-1}$)
$\Omega_m(p)$	vitesse de l'axe moteur (variable temporelle : $\omega_m(t)$ en $\text{rad}\cdot\text{s}^{-1}$)
$C_2(p)$	correcteur de l'asservissement de vitesse
$M_C(p)$	modélise la boucle d'asservissement en couple du moteur (étudiée ci-après)

TABLE 2 – Définition des notations utilisées

On considère dans tout le devoir les conditions de Heaviside (Conditions initiales nulles) remplies.

Question 1 - Rappeler le lien entre la vitesse de rotation $\omega_m(t)$ (en rad/s) et la position angulaire $\theta_m(t)$ (en rad). Justifier alors l'expression de la fonction de transfert $\frac{\theta_m(p)}{\Omega_m(p)}$. A quel modèle de système (fondamental) a-t-on affaire ?

II.2 Etude de la boucle d'asservissement en couple du moteur

La fonction de transfert $M_C(p)$ correspond à une boucle d'asservissement en couple du moteur ($C_m(t)$), qui passe par le pilotage de l'intensité $i(t)$ du moteur (transformée de Laplace $I(p)$). On adopte la représentation de la Figure 4 afin d'en détailler le fonctionnement.

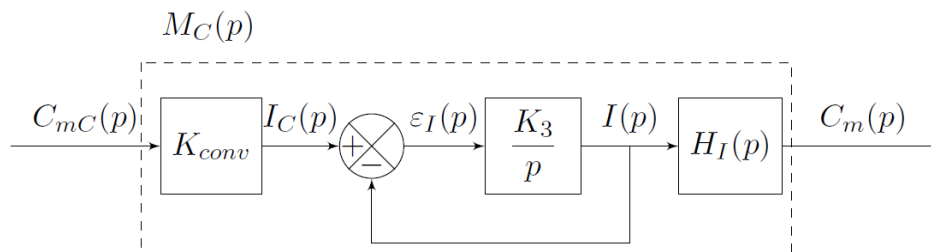


FIGURE 4 – Modélisation de l'asservissement en couple $M_C(p)$

On rappelle les équations modélisant le comportement d'un moteur à courant continu :

$$u_m(t) = e(t) + R \cdot i(t) + L \frac{di}{dt}(t)$$

$$C_m(t) = k_c \cdot i(t)$$

$$e(t) = k_e \cdot \omega_m(t)$$

$$J \frac{d\omega_m}{dt}(t) = C_m(t) - C_r(t) - f \cdot \omega_m(t)$$

où $u_m(t)$ est la tension du moteur. On définit les valeurs des paramètres constants suivants :

$$R = 2 \, \Omega ; L = 0,62 \, \text{mH} ; k_e = 0,5 \text{V}/\text{tour}^{-1} \text{min} ; k_c = 0,0525 \, \text{NmA}^{-1}$$

Les valeurs de J , le moment d'inertie rapporté à l'axe moteur, et de f , le coefficient de frottement visqueux équivalent à l'ensemble en mouvement, ne sont pas connues.

Question 2 - A l'aide de l'une des quatre équations précédentes, montrer que la fonction de transfert $H_I(p)$ est assimilable à un gain pur. Donner son expression littérale et sa valeur numérique. Préciser son unité.

Question 3 - Déterminer l'expression de K_{conv} en fonction d'un paramètre du système pour que la boucle d'asservissement de la Figure 4 soit bien asservie, c'est-à-dire que l'écart ε_I soit nul lorsque le couple du moteur est égal à la consigne de couple (voir Tableau 2).

Question 4 - Exprimer la fonction de transfert $M_C(p) = \frac{C_m(p)}{C_{mC}(p)}$ en fonction de K_{conv} , K_3 , p et $H_I(p)$. Montrer alors qu'elle se met sous la forme : $M_C(p) = \frac{K_3}{K_3 + p}$. Préciser l'ordre du système ainsi modélisé.

On souhaite que la dynamique globale du système soit indépendante de l'asservissement en courant. Pour cela, on fixe la valeur de la constante de temps de $M_C(p)$ inférieure à 1 ms.

Question 5 - Exprimer la constante de temps de $M_C(p)$ et en déduire la valeur limite de K_3 . Préciser son unité.

On pourra ainsi assimiler $M_C(p)$ à un gain pur unitaire soit : $M_C(p) = 1$.

II.3 Etude de la boucle d'asservissement en vitesse

On s'intéresse maintenant à la boucle d'asservissement en vitesse des motorisations.

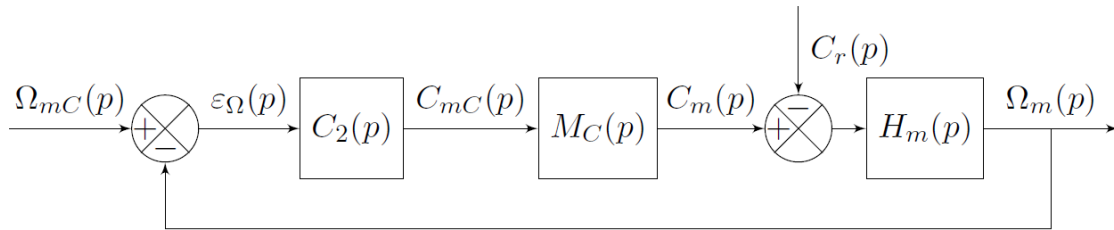


FIGURE 5 – Modélisation de l'asservissement en vitesse

La boucle d'asservissement en vitesse utilise un correcteur proportionnel-intégral de fonction de transfert $C_2(p)$ telle que :

$$C_2(p) = K_2 \frac{1 + T_2 p}{T_2 p}$$

Question 6 - A l'aide de l'une des équations modélisant le comportement du moteur (équations (1) à (4), voir page précédente), montrer que la fonction de transfert $H_m(p) = \frac{\Omega_m(p)}{C_m(p) - C_r(p)}$ peut se mettre sous la forme d'un premier ordre. Exprimer son gain K_m et sa constante de temps τ_m en fonction des paramètres f et J . Préciser leurs unités (J : moment d'inertie en kg.m^2 et f : coeff de frottement visqueux en N.m.s)

Afin d'obtenir les valeurs numériques associées à K_m et τ_m , on applique au moteur un échelon de couple $C(t) = C_m(t) - C_r(t)$ d'amplitude **50 Nm**. La Figure 8 du document réponses illustre alors la vitesse $\omega_m(t)$ mesurée.

Question 7 - Après avoir validé la forme du modèle de $H_m(p)$, identifier les valeurs numériques de K_m et τ_m . Préciser les unités et faire apparaître les constructions sur le document réponses. En déduire les valeurs numériques des paramètres f et J avec leurs unités.

II.3.1 Etude du système non perturbé

On considère dans cette partie que l'asservissement de vitesse est non perturbé : $C_r(p) = 0$.

Question 8 - Exprimer la fonction de transfert $H_{BO\Omega}(p) = \left. \frac{\Omega_m(p)}{\varepsilon_\Omega(p)} \right|_{C_r(p)=0}$ en fonction de $C_2(p)$, $M_C(p)$, et $H_m(p)$ puis en fonction de K_m , τ_m , T_2 et K_2 . On rappelle que l'on considère $M_C(p) = 1$.

Question 9 - Donner alors l'ordre, le gain et la classe de cette fonction de transfert. Préciser également la racine de son numérateur (appelée zéro), notée z , et les racines de son dénominateur (appelées pôles) notées p_1 et p_2 .

On souhaite réduire l'ordre de $H_{BO\Omega}(p)$ sans modifier sa classe. Pour cela, on compense le pôle non nul avec le zéro : le correcteur est réglé de manière à ce que $T_2 = \tau_m$.

Question 10 - Donner l'expression simplifiée de $H_{BO\Omega}(p)$ avec ce choix de correcteur.

Question 11 - En déduire l'expression de la fonction de transfert $H_{BF\Omega}(p) = \left. \frac{\Omega_m(p)}{\Omega_{mc}(p)} \right|_{C_r(p)=0}$ en fonction de $H_{BO\Omega}(p)$. Montrer qu'elle s'écrit $H_{BF\Omega}(p) = \frac{1}{1 + \tau_v p}$. Préciser l'expression de τ_v en fonction de K_m , τ_m et K_2 .

II.3.2 Validation de la robustesse

On souhaite étudier l'influence du couple résistant $C_r(t)$ sur la sortie $\omega_m(t)$. On considère donc à présent $\omega_{mC}(t) = 0$.

Question 12 - Montrer que la fonction de transfert en boucle fermée $H_{per}(p) = \frac{\Omega_m(p)}{C_r(p)} \Big|_{\Omega_{mC}(p)=0}$ s'écrit :

$$H_{per}(p) = \frac{-\frac{\tau_m}{K_2} p}{1 + \left(\tau_m + \frac{\tau_m}{K_m K_2}\right) p + \frac{\tau_m^2}{K_m K_2} p^2}$$

On supposera le système modélisé par $H_{per}(p)$ stable.

Question 13 - Calculer $\lim_{t \rightarrow \infty} \omega_m(t)$ lorsque $C_r(t)$ est un échelon d'amplitude constante C_0 . Préciser la démarche et le(s) théorème(s) utilisé(s). Conclure vis-à-vis du cahier des charges (Tableau 1).

Pour la suite, $C_r(t)$ n'ayant pas d'influence sur le comportement du système, on le négligera.

II.4 Etude de la boucle d'asservissement en position

Les études précédentes permettant d'aboutir au modèle simplifié de la Figure 6 pour l'asservissement en position, avec $\tau_v = 33 \text{ ms}$ et $K_1 = 100 \text{ s}^{-1}$.

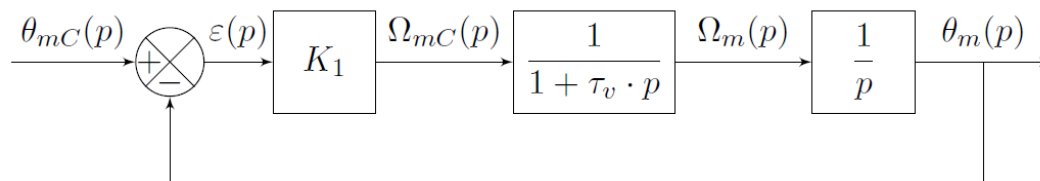


FIGURE 6 – Premier modèle simplifié

Question 14 - Exprimer la fonction de transfert en boucle fermée du système $H_{BF}(p) = \frac{\theta_m(p)}{\theta_{mC}(p)}$ en fonction de K_1 et τ_v . La mettre sous forme canonique.

II.4.1 Validation de la stabilité

Question 15 - Un système est stable si les pôles de sa fonction de transfert (racines du dénominateur) sont à partie réelle strictement négatives. Donner les pôles de $H_{BF}(p)$ et conclure sur la stabilité du système.

Pour la suite, on considère l'asservissement de position angulaire stable.

II.4.2 Validation de la rapidité

Question 16 - Donner les expressions du facteur d'amortissement ξ et de la pulsation propre non amortie ω_0 du système modélisé par la fonction de transfert $H_{BF}(p)$. Faire les applications numériques.

Question 17 - En utilisant l'abaque Figure 9 du document réponse, estimer le temps de réponse à 5% de la réponse indicielle de l'asservissement en position ainsi corrigé. Conclure vis-à-vis du cahier des charges (Tableau 1).

II.4.3 Détermination de la précision

La précision du système s'évalue à travers son erreur statique : $\lim_{t \rightarrow \infty} (\theta_{mC}(t) - \theta_m(t))$. Puisque la consigne peut s'approcher par des constantes et des rampes, on définit deux sous-critères :

- l'erreur statique de position, notée ε_s : elle correspond à l'erreur statique du système sollicité par un échelon unitaire $\theta_{mC}(t) = u(t)$. Où $u(t)$ est l'échelon unitaire (fonction d'Heaviside)
- l'erreur statique de vitesse (ou de trainage), notée ε_t : elle correspond à l'erreur statique du système sollicité par une rampe unitaire $\theta_{mC}(t) = t \cdot u(t)$.

Question 18 - Déterminer l'erreur statique de position ε_s du système. Conclure vis-à-vis du cahier des charges (Tableau 1).

Question 19 - On rappelle la transformée de Laplace d'une rampe unitaire : $L(t \cdot u(t)) = \frac{1}{p^2}$. Déterminer l'erreur de trainage ε_t en appliquant le théorème de la valeur finale. On sera attentif aux formes indéterminées. Conclure vis-à-vis du cahier des charges.

III. Nouvelle modélisation du système

Pour satisfaire l'exigence d'une erreur de trainage nulle, on propose un second modèle avec anticipation pour la vitesse (Figure 7).

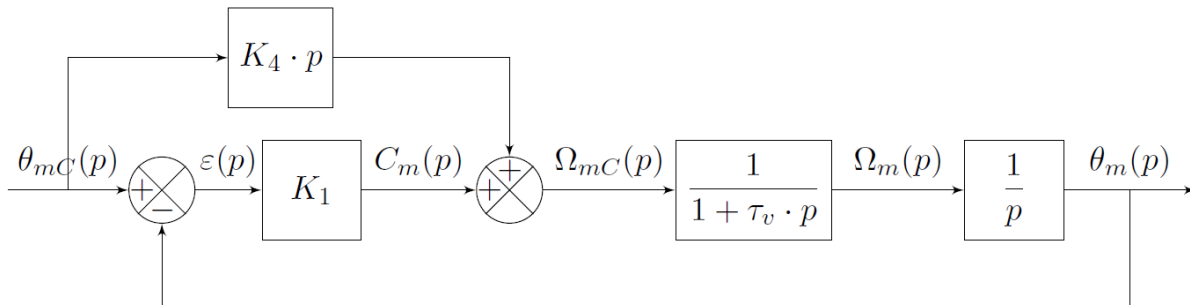


FIGURE 7 – Deuxième modèle

Question 20 - Montrer que la nouvelle fonction de transfert en boucle fermée $H_{BFnew}(p) = \frac{\theta_m(p)}{\theta_{mC}(p)}$ s'écrit :

$$H_{BFnew}(p) = \frac{1 + \frac{K_4}{K_1} p}{1 + \frac{1}{K_1} p + \frac{\tau_v}{K_1} p^2}$$

Question 21 - Déterminer la nouvelle expression de l'erreur de trainage ε_t , en fonction de K_1 et K_4 . Conclure quant au réglage de K_4 permettant d'annuler ε_t

Quelques Transformées de Laplace au cas où

$f(t)$	$F(p)$
$f(t - \tau)$	$e^{-p\tau} F(p)$
$\frac{d^n f(t)}{dt^n}$	$p^n F(p)$ avec C.I. = 0
$\delta(t)$	1
$u(t)$	$\frac{1}{p}$
$\frac{t^n}{n!} \cdot u(t)$	$\frac{1}{p^{n+1}}$

Théorème de la valeur initiale : (si la limite existe) :

$$\lim_{t \rightarrow 0} f(t) = \lim_{p \rightarrow \infty} p \cdot F(p)$$

Théorème de la valeur finale : (si la limite existe) :

$$\lim_{t \rightarrow \infty} f(t) = \lim_{p \rightarrow 0} p \cdot F(p)$$